

МЕТОДИКА РАСЧЕТНОГО МОДЕЛИРОВАНИЯ НЕЙТРОННО-ФИЗИЧЕСКОГО И ТЕПЛОГИДРАВЛИЧЕСКОГО СОСТОЯНИЯ РЕАКТОРА В БЫСТРОПРОТЕКАЮЩИХ ПРОЦЕССАХ

В.И. Бойко, В.В. Шидловский*, П.М. Гаврилов*, М.Г. Герасим*, И.В. Шаманин

Томский политехнический университет

E-mail: shamanin@phtd.tpu.ru

*ФГУП Сибирский химический комбинат. г. Северск

Разработана методика расчетного моделирования нейтронно-физического и теплогидравлического состояния канала водоохлаждаемого реактора с графитовым замедлителем в быстропротекающих процессах. Произведен расчет гипотетической аварийной ситуации, возникающей при отказе приводов насосов и падении давления в контуре многократной принудительной циркуляции, которое вызвано частичным разрывом трубопровода.

Введение

Технические системы большой сложности и повышенной мощности неизбежно создают определенную степень риска для человека и окружающей среды. Можно лишь сократить до минимума вероятность тяжелой аварии и стремиться уменьшить ее возможные последствия. Проектом АЭС рассматриваются возможные аварии, для которых известны гипотетические исходные события и конечное состояние. Для них создаются системы безопасности, ограничивающие последствия установленными пределами.

Расчетные пакеты прикладных программ являются основным инструментом в анализе тепловых и гидродинамических процессов канальных реакторов, в том числе при частичных разрывах контура многократной принудительной циркуляции РБМК (*реактор большой мощности канальный*). Характерной чертой исследований безопасности РБМК при авариях с потерей теплоносителя является широкое использование зарубежных пакетов прикладных программ RELAP, ATHLET и др. [1]. Они созданы применительно к анализу безопасности реакторов типа PWR (*pressured water reactor*), поэтому анализ аварийных режимов РБМК на их основе имеет свою специфику. Прежде всего, встает вопрос о воз-

можности применения кодов в условиях, определенных особенностями канального реактора с графитовым замедлителем [2]. В кодах RELAP и ATHLET в явном виде не моделируется динамика парообразования и динамика двухфазного потока. Для PWR и ВВЭР (*водо-водяной энергетический реактор*) в этом нет необходимости. Поэтому при использовании указанных пакетов прикладных программ нет возможности определить, какой эффект преобладает – отрицательная обратная связь за счет Допплер-эффекта или положительная обратная связь, обусловленная парообразованием.

Цель работы и методика решения задачи

Целью настоящей работы являлась разработка методики расчетного моделирования нейтронно-физического и теплогидравлического состояний канала реактора в быстропротекающих процессах.

Быстропротекающие процессы в реакторах могут инициироваться нештатными ситуациями, в частности, неконтролируемыми изменениями:

- расхода и давления теплоносителя в контуре многократной принудительной циркуляции;
- реактивности и, соответственно, нейтронной мощности.

Основным принципом, используемым в методике, является явный учет обратных связей между возмущением, вносимым в систему, и откликом системы на возмущение. В качестве возмущения выступает изменение реактивности, в качестве отклика – нейтронная мощность. Она определяет теплофизическое состояние активной зоны, изменение которого, в свою очередь, обуславливает степень отклонения реактора от критического состояния, т.е. реактивность. Такая модель системы относится к классу самосогласованных-замкнутых.

Связь между реактивностью и нейтронной мощностью описывается в терминах функции линейного отклика [3].

Быстропротекающий процесс дробится во времени; в пределах каждого интервала времени путем организации итерационного процесса решается самосогласованная нейтронно- и теплофизическая задача.

На рис. 1 представлена структура модели системы и алгоритм вычислений, которые составляют основу пакета прикладных программ.

Это частный случай, поскольку обратная связь в нем образована с учетом изменения физических свойств теплоносителя – воды (пароводяной смеси).

На первом временном интервале $\Delta\tau$, начиная с $t_0=0$, для фиксированного стационарного уровня мощности $n_0=1$ отн. ед., при заданном расходе тепло-

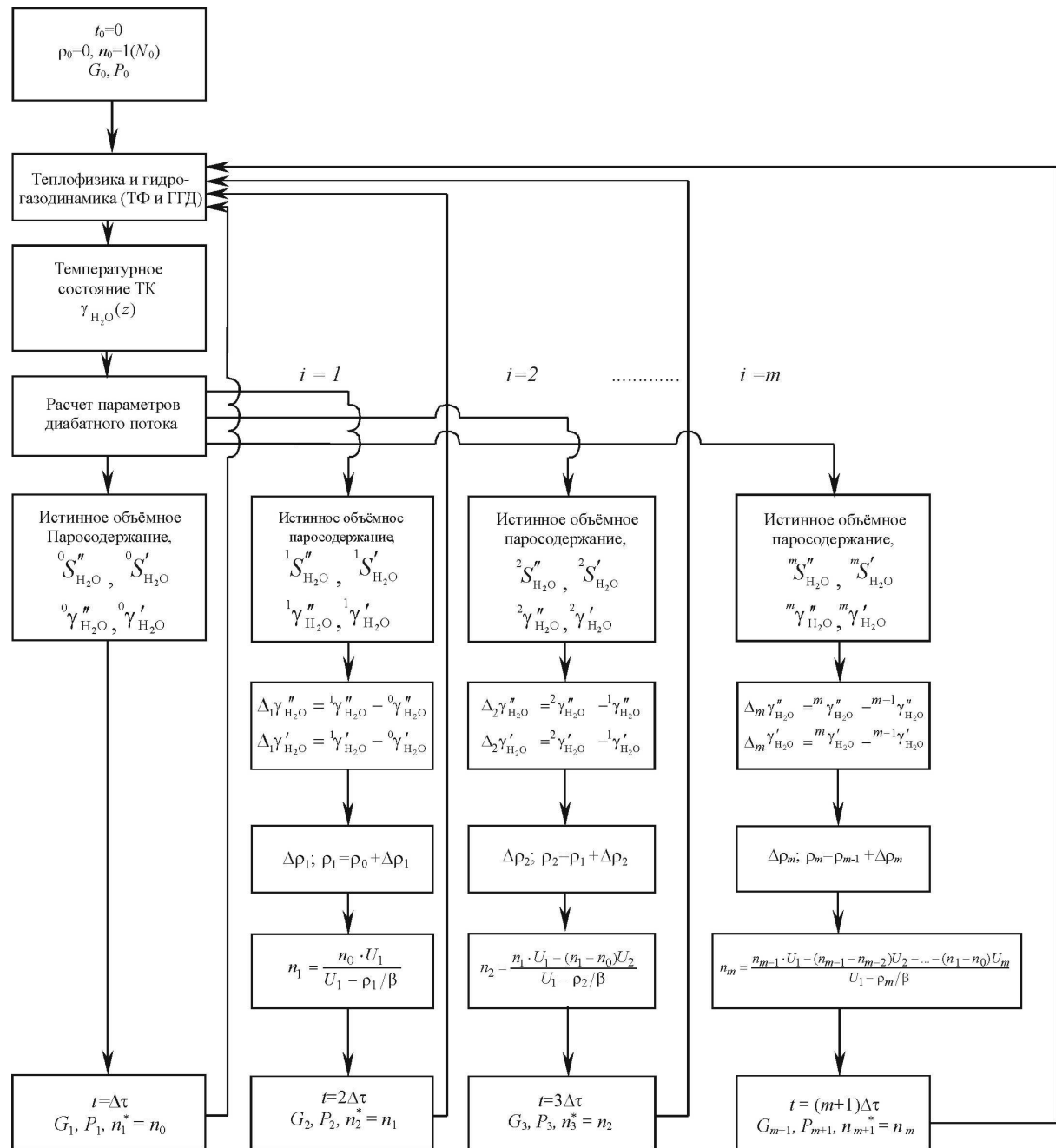


Рис. 1. Структура модели и организация вычислений

носителя G_0 и при неизменном давлении P_0 проводится расчет теплофизического (ТФ) и гидрогазодинамического (ГГД) состояния технологического канала (ТК). Рассчитываются изменение температуры и скорости теплоносителя при движении в ТК, коэффициенты теплоотдачи с поверхности твэла, проводится оценка критических тепловых потоков.

В результате определяется температурное состояние элементов ТК по аксиальной координате z , в т.ч. плотность потока теплоносителя (ТН) — $\gamma_{H_2O}(z)$. Затем проводится расчет параметров диабатного потока, результатом которого является значение истинного объемного паросодержания, и, следовательно:

- площади проходного сечения ТК, занятого паровой ${}^0S''_{H_2O}$ и жидкой ${}^0S'_{H_2O}$ фазами;
- плотности молекул H_2O в паровой ${}^0\gamma''_{H_2O}$ и жидкой ${}^0\gamma'_{H_2O}$ фазах.

Далее следует задание новых значений расхода и давления — G_1 и P_1 . Новое значение нейтронной мощности полагается неизменным $n_1^*=n_0$. Цикл расчетов (ТФ и ГГД) → расчет параметров диабатного потока повторяется. В результате ($i=1$) определяются новые значения ${}^1S'_{H_2O}$, ${}^1S''_{H_2O}$, ${}^1\gamma'_{H_2O}$ и ${}^1\gamma''_{H_2O}$.

Приращения $\Delta_1\gamma'_{H_2O}$, $\Delta_1\gamma''_{H_2O}$ и изменения значений S'_{H_2O} , S''_{H_2O} определяют значение приращения реактивности $\Delta\rho_1$.

Затем определяется «истинное» значение нейтронной мощности n_1 в формализме, используя понятие функции линейного отклика.

Далее следует изменение расхода и давления: G_2 и P_2 . Новое значение нейтронной мощности полагается неизменным $n_2^*=n_1$. Цикл расчетов [(ТФ и ГГД) → расчет параметров диабатного потока] повторяется. В результате ($i=2$) определяются новые значения ${}^2S'_{H_2O}$, ${}^2S''_{H_2O}$, ${}^2\gamma'_{H_2O}$ и ${}^2\gamma''_{H_2O}$ и следует нейтронно-физический расчет.

Начиная с $i=1$ последовательность вычислений остаётся неизменной и повторяется. Результатом вычислений является динамика нейтронно-физических и теплогидравлических параметров ТК.

Последовательность вычислений при определении параметров диабатного потока

Расчет по соотношениям, которые используются при определении параметров диабатного потока [4], проводится в последовательности, изложенной ниже.

В соотношениях приняты следующие обозначения: p — давление, МПа; t — температура, °С; G — массовый расход, кг/с; F — проходное сечение, м²; d — диаметр твэла, мм; q_s — плотность теплового потока, МВт/м²; $(\rho\omega)=G/F$ — массовая скорость, кг/м²·с.

Из подпрограмм-таблиц по заданным p и t определяются: r — удельная теплота парообразования (теплота испарения), Дж/кг; h — удельная энтальпия потока, Дж/кг; h' — для жидкой фазы, Дж/кг; h'' — для паровой фазы, Дж/кг; v — удельный объём потока, м³/кг; v' — для жидкой фазы, м³/кг;

$\rho'=1/v'$ — плотность жидкой фазы, кг/м³; v'' — для паровой фазы, м³/кг; $\rho''=1/v''$ — плотность паровой фазы, кг/м³; ν' — коэффициент кинематической вязкости для жидкой фазы, м²/с; для заданной t определяется $p_{кр}$ — критическое давление, МПа. Затем проводятся вычисления:

- 1) $\omega_0=\rho\omega/\rho'$ — скорость циркуляции;
- 2) $\pi=p/p_{кр}$;
- 3) коэффициент скольжения:
 $s=1+2,27(1-\pi^2)(\rho'/\rho\omega)^{0,7}$;
- 4) средняя энтальпия потока в точке начала интенсивного роста истинного объёмного паросодержания:

$$h_0 = h' - \frac{q_s}{\rho\omega} \cdot 7,5 \left(\frac{gd}{r\rho''v'} \right)^{0,08} \cdot \left(\frac{\omega_0 d}{v'} \right)^{0,2};$$

- 5) $\Delta h = (h + h' - 2h_0) \exp \left(-2 \frac{h - h_0}{h' - h_0} \right)$;
- 6) массовое расходное паросодержание:
 $x = (h - h' + \Delta h) / (r + \Delta h)$;
- 7) граничное значение истинного объёмного паросодержания:

$$\varphi_p = (1 + 0,333s)^{-1};$$

- 8) граничное значение массового расходного паросодержания:

$$x_p = (1 + 0,333\rho'/\rho'')^{-1};$$

- 9) $\varphi_0 = 1,17 q_s^{0,35} / p^{0,15} (\rho\omega)^{0,15}$;

- 10) $x_0 = -0,537 q_s^{0,7} (p/\rho\omega)^{0,3}$;

Истинное объёмное паросодержание потока φ :

- 11) $\varphi=0$ при $x < x_0$ (п. 6, п. 10),

$$\varphi = \varphi_0 (1 - x/x_0)^{1,35} \quad \text{при} \quad x_0 < x < 0,$$

$$\varphi = \varphi_0 + \frac{x}{x_p} (\varphi_p - \varphi_0) \quad \text{при} \quad 0 < x < x_p,$$

$$\varphi = \varphi_p \quad \text{при} \quad x > x_p.$$

Площадь проходного сечения ТК, занятого паровой фазой — $S''_{H_2O} = \varphi F$, занятого жидкой фазой — $S'_{H_2O} = F - S''_{H_2O}$.

Расчет отклика нейтронной мощности на возмущение реактивности

Выражения для концентрации ядер-предшественников запаздывающих нейтронов i -ой группы при:

$$\tau=0 \quad \bar{C}_{i,0} = \frac{\beta_i}{\beta} \cdot \frac{n_0}{\lambda_i} = a_i \cdot \frac{n_0}{\lambda_i}; \quad (1)$$

$$0 < \tau \leq \Delta\tau \quad \bar{C}_i = \frac{a_i n}{\lambda_i} - \frac{\Delta n}{\Delta\tau} \cdot \frac{a_i (1 - e^{-\lambda_i \tau})}{\lambda_i^2}; \quad (2)$$

$$\tau > \Delta\tau \quad C_i = \frac{a_i n_1}{\lambda_i} - \frac{\Delta n}{\Delta\tau} \cdot \frac{a_i (1 - e^{-\lambda_i \Delta\tau})}{\lambda_i^2} \cdot e^{-(\tau - \Delta\tau)\lambda_i}. \quad (3)$$

Здесь $a_i = \beta_i / \beta$ – относительный выход запаздывающих нейтронов по группам; $\Delta n = n_1 - n_0$ – изменение мощности за время $\Delta \tau$.

Функция линейного отклика

Подстановка выражений (1–3) в $\bar{\rho} = 1 - \sum_i \frac{\bar{C}_i \lambda_i}{n}$ позволяет получить следующее выражение для изменения реактивности при заданном законе изменения мощности:

$$\bar{\rho} = \frac{\Delta n}{n(\tau)} \cdot U_{\Delta \tau}(\tau).$$

При указанной подстановке учтено, что

$$\sum_{i=1}^6 a_i = 1.$$

Функция $U_{\Delta \tau}(\tau)$ называется функцией линейного отклика [3].

Эта функция задается следующими соотношениями при:

$$0 \leq \tau \leq \Delta \tau \quad U_{\Delta \tau}(\tau) = \sum_{i=1}^6 \frac{a_i (1 - e^{-\lambda_i \tau})}{\lambda_i \Delta \tau};$$

$$\tau > \Delta \tau \quad U_{\Delta \tau}(\tau) = \sum_{i=1}^6 \frac{a_i (1 - e^{-\lambda_i \Delta \tau})}{\lambda_i \Delta \tau} \cdot e^{-\lambda_i (\tau - \Delta \tau)}.$$

Из (3) получаем следующее значение конечного уровня мощности реактора n_1 , которое достигается после ввода реактивности $\bar{\rho}$ за время $\Delta \tau$

$$n_1 = \frac{n_0}{1 \pm \frac{\bar{\rho}}{U_{\Delta \tau}(\Delta \tau)}}.$$

В нашем случае возмущение реактивности обусловлено изменением значения истинного объёмного паросодержания (изменением концентрации молекул воды)

$$\Delta \rho = \Delta n_{\text{H}_2\text{O}} \cdot \left(\frac{d\rho}{dn_{\text{H}_2\text{O}}} \right).$$

Для реактора с отражателем необходимо учитывать «эффективные добавки» за счёт отражателя. В этом случае, при расчёте геометрического параметра, фактические полуразмеры зоны увеличиваются на величину эффективной добавки δ : $H' = H + 2\delta$; $R' = R + \delta$.

Для уран-графитовых реакторов с графитовым отражателем

$$\delta = 1,2 L_{\text{omp}} \text{th} \frac{T}{L_{\text{omp}}},$$

где L_{omp} – длина диффузии в отражателе (графите), $L_{\text{omp}} = 57$ см, T – толщина отражателя, см.

Для реактора РБМК-1000 толщина отражателей: бокового – 75 см; верхнего и нижнего – 50 см.

$$\tau = \tau_c \left(\frac{S_{\text{яч}}}{S_{\text{яч}} - S_{\text{тк}}} \right)^2,$$

где $S_{\text{тк}} = S_{\text{H}_2\text{O}} + S_{\text{км}}$, $\tau_c = 312,5$ см² – возраст нейтронов в графите, $S_{\text{яч}}$, $S_{\text{тк}}$ – площади поперечного сечения ячейки и ТК, $S_{\text{км}}$ – конструктивных элементов ТК, $S_{\text{H}_2\text{O}}$ – проходного сечения под пароводяную смесь.

Вероятность избежать резонансного захвата определяется соотношением:

$$\varphi = \exp \left[- \frac{(k_T R_U \sqrt{R n \varepsilon_1} + 0,73 \cdot n R_U^2 \varepsilon_1)}{(\xi \sum_{S3} S_3 + \xi \sum_{S\phi} S_\phi)} \right],$$

где $\xi \sum_{S3}$ и $\xi \sum_{S\phi}$ – замедляющая способность замедлителя и «фиктивного блока»; S_3 и S_ϕ – площадь замедлителя и фиктивного блока; R_U – радиус уранового блока; k_T – температурный коэффициент; n – число стержней в пучке; R – радиус пучка; ε_1 – пористость блока по урану-238. Коэффициент k_T имеет вид:

$$k_T = 0,775(1 + 17,5 \cdot 10^{-3} \sqrt{T_U}),$$

где T_U – средняя температура урана, К.

Изменение концентрации молекул воды наиболее сильно влияет на коэффициент использования тепловых нейтронов θ , поэтому при дифференцировании формулы четырех сомножителей считаем остальные сомножители константами:

$$\begin{aligned} \rho &= 1 - \frac{1 + L^2 B^2}{\eta \varepsilon \varphi \theta \cdot \exp(-B^2 \tau)}, \\ \rho' &= \left(- \frac{1}{\eta \varepsilon \varphi \cdot \exp(-B^2 \tau)} \right) \cdot \left(\frac{1 + L^2 B^2}{\theta} \right) = \\ &= \left(- \frac{1}{\eta \varepsilon \varphi \cdot \exp(-B^2 \tau)} \right) \cdot \left(- \frac{\theta'}{\theta^2} (1 + L^2 B^2) \right), \\ \frac{d\rho}{dn_{\text{H}_2\text{O}}} &= \frac{d\theta}{dn_{\text{H}_2\text{O}}} \cdot \frac{1 + L^2 B^2}{\theta^2 \eta \varepsilon \varphi \cdot \exp(-B^2 \tau)}. \end{aligned} \quad (4)$$

Дифференцируем выражение для определения коэффициента использования тепловых нейтронов:

$$\begin{aligned} \theta &= \frac{\sum_a^{\text{монл}}}{\sum_a^{\text{яч}}} = \frac{\sum_a^{\text{монл}}}{\sum_a^{\text{Zr}} + \sum_a^{\text{Nb}} + \sum_a^{\text{C}} + \sum_a^{\text{H}_2\text{O}} + \sum_a^{\text{монл}}}, \\ \frac{d\theta}{dn_{\text{H}_2\text{O}}} &= \sum_a^{\text{монл}} \left(- \frac{\sigma_a^{\text{H}_2\text{O}}}{(\sum_a^{\text{Zr}} + \sum_a^{\text{Nb}} + \sum_a^{\text{C}} + \sum_a^{\text{H}_2\text{O}} + \sum_a^{\text{монл}})^2} \right). \end{aligned}$$

При расчете по соотношению (4) значения θ и $\frac{d\theta}{dn_{\text{H}_2\text{O}}}$ определяются для $\Sigma_a^{\text{H}_2\text{O}}$, которое вычисляется по формуле:

$$(\Sigma_a^{\text{H}_2\text{O}})^* = (\Sigma_a^{\text{H}_2\text{O}})^* \frac{S_{\text{H}_2\text{O}}'' \cdot \gamma_{\text{H}_2\text{O}}'' + S_{\text{H}_2\text{O}}' \gamma_{\text{H}_2\text{O}}'}{S_{\text{H}_2\text{O}} \cdot \gamma_{\text{H}_2\text{O}}},$$

где $(\Sigma_a^{\text{H}_2\text{O}})^*$ – макроскопическое сечение поглощения в пароводяной смеси (в воде) на предыдущем шаге интегрирования по времени. Для воды

$$\Sigma_a = \frac{\gamma_{\text{H}_2\text{O}}}{\gamma_{\text{H}_2\text{O}}^{\text{H.Y.}}} \cdot 0,0221, \text{ см}^{-1}, \text{ где } \gamma_{\text{H}_2\text{O}}^{\text{H.Y.}} - \text{плотность воды в}$$

нормальных условиях, $\gamma_{\text{H}_2\text{O}}$ – при текущих значениях температуры и давления.

Результаты расчетов и их обсуждение

В расчетах моделировалась гипотетическая аварийная ситуация, возникающая при отказе приводов насосов и падении давления в контуре многократной принудительной циркуляции, которое вызвано частичным разрывом трубопровода.

Динамика теплового состояния технологического канала приведена на рис. 2.

Расход теплоносителя за 1,8 с уменьшается в 1,3 раза, и в этот момент возникают условия, необходимые для инициации местного кипения на наиболее энергонапряженном участке ТК. Температура поверхности твэла достигает 350°C , превышая температуру насыщения на 65°C . За следующие 0,5 с возникают условия, необходимые для объемного кипения. В случае, если паросодержание достигает граничного значения, наступает кризис теплообмена 2-ого рода: жидкая пленка высыхает, вся выделяющаяся энергия идет на разогрев твэла, в том числе — его оболочки. Это иллюстрируется ходом зависимости температуры поверхности твэла от времени (рис. 2, зависимость 5). Температура теплоносителя достигает температуры насыщения и далее не изменяется. Нейтронная мощ-

ность стремительно нарастает, и через 2,5 с после начала падения расхода теплоносителя плотность теплового потока достигает критического значения. Начиная с этого момента времени очень вероятно стремительное нарастание температуры оболочки твэла и, как следствие, ее разрушение.

С учетом срабатывания аварийной защиты динамика процесса следующая. Время возрастания мощности составляет 1,5...2,0 с. Нейтронная мощность сначала, вслед за ростом паросодержания, возрастает до 115 % номинального значения. После срабатывания защиты она быстро снижается до уровня остаточного тепловыделения.

Результаты расчетов [5] показывают, что с учетом того, что около 20 % запасенного в твэле тепла расходуется на прогрев оболочки, ее температура при адиабатическом выравнивании профиля температуры может превысить 1100°C . Это значение характеризует температуру, которая может быть достигнута в авариях рассматриваемого типа.

Оценка неопределенностей результатов, полученных в расчетах, позволяет определить ключевые процессы и явления в канале водоохлаждаемого реактора.

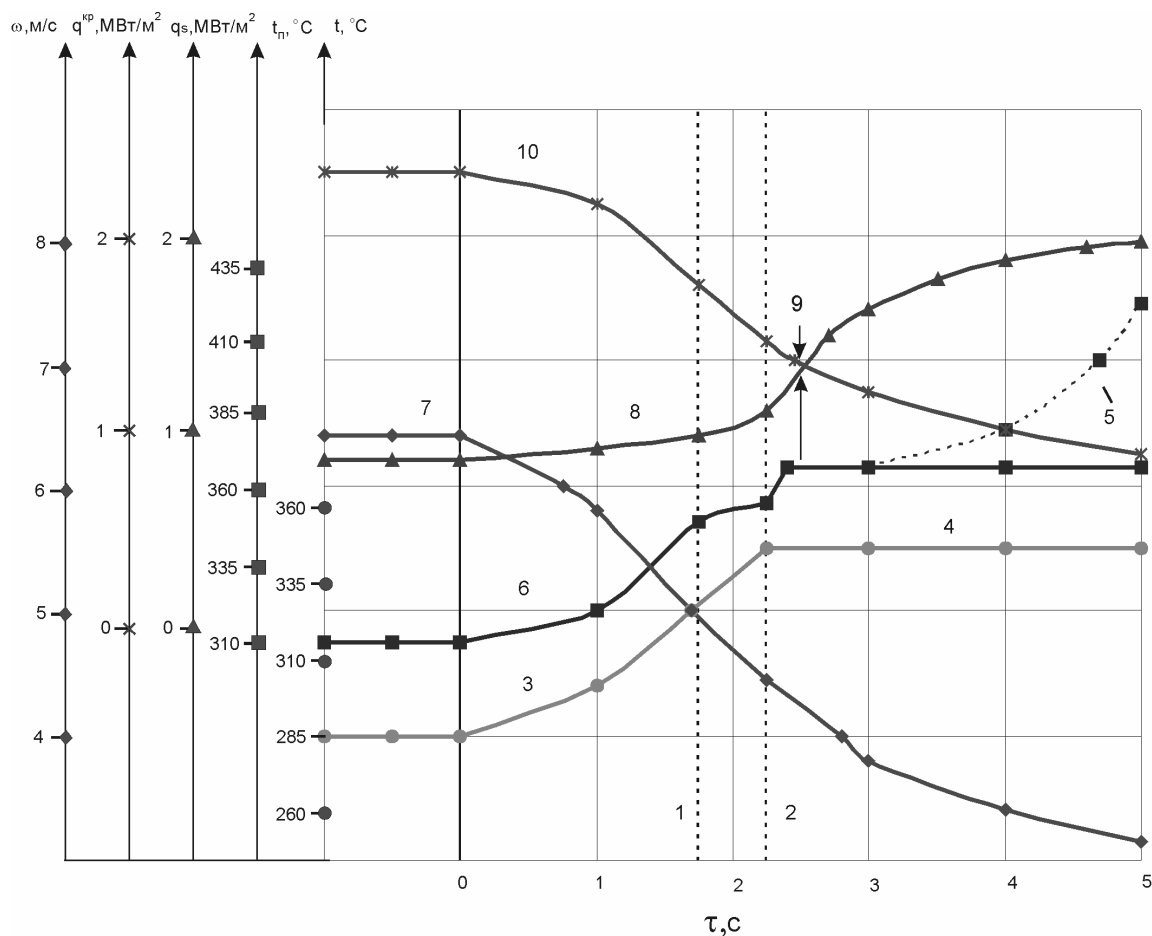


Рис. 2. Динамика теплового состояния технологического канала: 1) начало местного кипения; 2) начало объемного кипения; 3) t — температура потока; 4) t_s — температура насыщения; 5) возможный рост t_n ; 6) t_n — температура поверхности твэла; 7) ω — скорость потока; 8) q_s — плотность теплового потока; 9) возможность начала кризиса теплообмена; 10) $q_{кр}$ — критическая тепловая нагрузка

Ими следует считать:

- запасенное тепло в ядерном топливе;
- термодинамическое состояние системы и, в первую очередь – особенности течения двухфазного потока, вызывающие колебания расхода теплоносителя и условий теплообмена на поверхности твэла.

Определяющими параметрами при моделировании процесса отвода тепла, запасенного в топливе, являются:

- термическое сопротивление зазора между топливом и оболочкой;
- коэффициент неравномерности энерговыделения;

- теплопроводность топлива и коэффициент теплоотдачи с поверхности твэлов.

Для условий канального водоохлаждаемого реактора с графитовым замедлителем (РБМК, АДЭ – аппарат двухцелевой энергетический) присутствие воды в нормальном режиме эксплуатации лишь занижает значение коэффициента использования тепловых нейтронов. Образование устойчивого диабатного потока приводит к резкому возрастанию реактивности и, следовательно, нейтронной мощности. Проведенный расчетный анализ совокупности нейтронно- и теплофизических процессов показывает, что обратная положительная связь «по пару» оказывается гораздо более сильной и динамичной, чем отрицательная обратная связь «по Допплер-эффекту».

СПИСОК ЛИТЕРАТУРЫ

1. Достов А.И. Исследование на основе программы RELAP4/MOD6 аварийных процессов в реакторах РБМК при частичных разрывах раздаточного группового и напорного коллекторов. Отчет ИАЭ им. И.В. Курчатова, инв. № 33Р/1–477–89, 1989.
2. Гаврилов П.М. Эволюция уравнения Рэлея в задаче с фазовым переходом // Теплофизика высоких температур. – 2001. – Т. 39. – № 2. – С. 311–315.
3. Кузнецов И.А. Аварийные и переходные процессы в быстрых реакторах. – М.: Энергоатомиздат, 1987. – 176 с.
4. Справочник по теплогидравлическим расчетам (ядерные реакторы, теплообменники, парогенераторы) / П.Л. Кириллов, Ю.С. Юрьев, В.П. Бобков. Под общей ред. П.Л. Кириллова. – М.: Энергоатомиздат, 1990. – 360 с.
5. Достов А.И., Крамеров А.Я. Исследование безопасности РБМК при авариях, инициируемых частичными разрывами контура циркуляции // Атомная энергия. – 2002. – Т. 91. – № 1. – С. 23–30.